



非平稳信号处理导论

时—频分析的一些基本概念

短时傅立叶变换和**Gabor**展开

Wavelet变换

Wigner—Ville分布及其一般化方法



非平稳信号

- 传统的以傅立叶变换为主的谱分析方法主要用于平稳信号，或慢变化的分段平稳信号的分析 and 设计
- 时-频分析主要用于频率瞬变的非平稳信号。
- 频率瞬变有两重主要意义
 - 频率随时间有规则或无规则连续变化或跳跃变化
 - 一些频率分量有其持续期，随机出现与消亡

第9章 时频分析



9.1 一些定义和解释

1: 傅立叶变换对

$$\hat{x}(\omega) = \int_{-\infty}^{+\infty} x(t) e^{-j\omega t} dt = \langle x(t), e^{j\omega t} \rangle$$

$$x(t) = \frac{1}{2\pi} \int_{-\infty}^{+\infty} \hat{x}(\omega) e^{j\omega t} d\omega$$

傅立叶变换的局限性



几个非平稳信号的例子

对于信号分量 $x(t) = a(t)e^{j\varphi(t)}$ 信号的瞬时频率定义为

$$\omega(t) = \varphi'(t)$$

调制信号（Chirp信号）

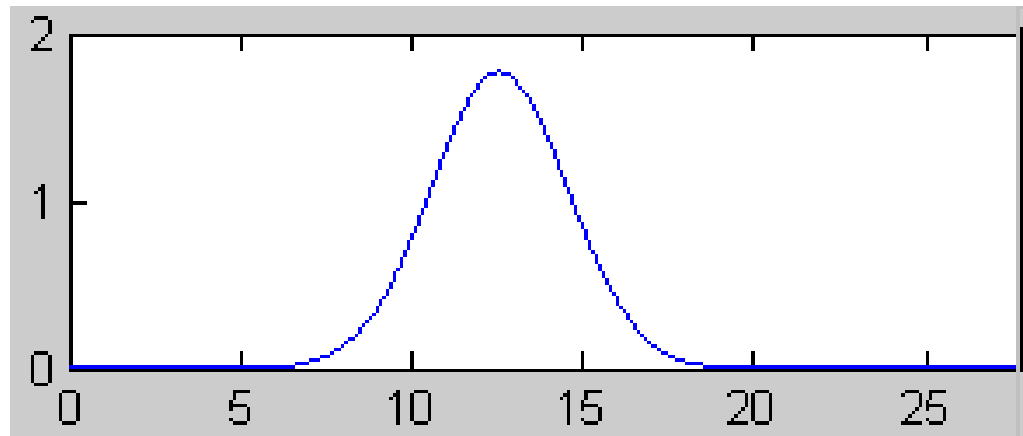
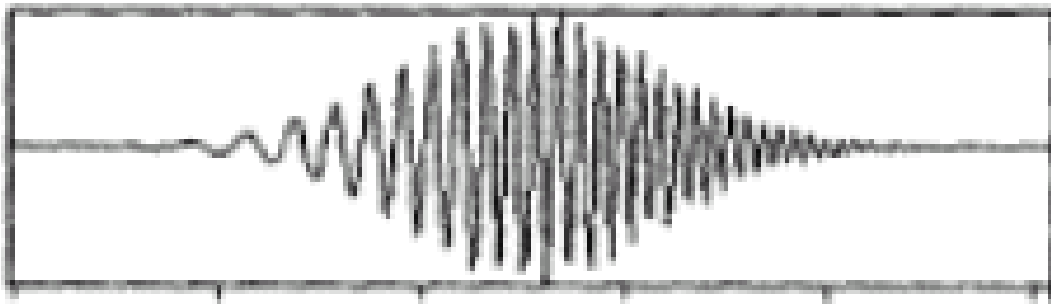
线性和二次调制函数及瞬时频率如下

$$x(t) = ae^{j(\beta t^2 + \omega_0 t + \varphi)}, \quad \omega(t) = 2\beta t + \omega_0$$

$$x(t) = ae^{j(\mu t^3 + \beta t^2 + \omega_0 t + \varphi)}, \quad \omega(t) = 3\mu t^2 + 2\beta t + \omega_0$$

高斯包络线性调制信号

$$x(t) = g(t - t_0)e^{j(\beta t^2 + \omega_0 t)} = \left(\frac{\alpha}{\pi}\right)^{1/4} e^{-\alpha(t-t_0)^2/2 + j(\beta t^2/2 + \omega_0 t)}$$





高斯包络线性调制信号的傅立叶变换

$$x(t) = g(t - t_0)e^{j(\beta t^2 + \omega_0 t)} = \left(\frac{\alpha}{\pi}\right)^{1/4} e^{-\alpha(t-t_0)^2/2 + j(\beta t^2/2 + \omega_0 t)}$$

$$\hat{x}(\omega) = \sqrt{\frac{\sqrt{\alpha}}{\sqrt{\pi}(\alpha + j\beta)}} e^{-(\omega - \omega_0)^2/2(\alpha - j\beta)} \quad \text{傅立叶变换}$$

$$|\hat{x}(\omega)|^2 = \sqrt{\frac{\alpha}{\pi(\alpha^2 + \beta^2)}} e^{-\alpha(\omega - \omega_0)^2/(\alpha^2 + \beta^2)} \quad \text{能量谱}$$

例：雷达线调频脉冲

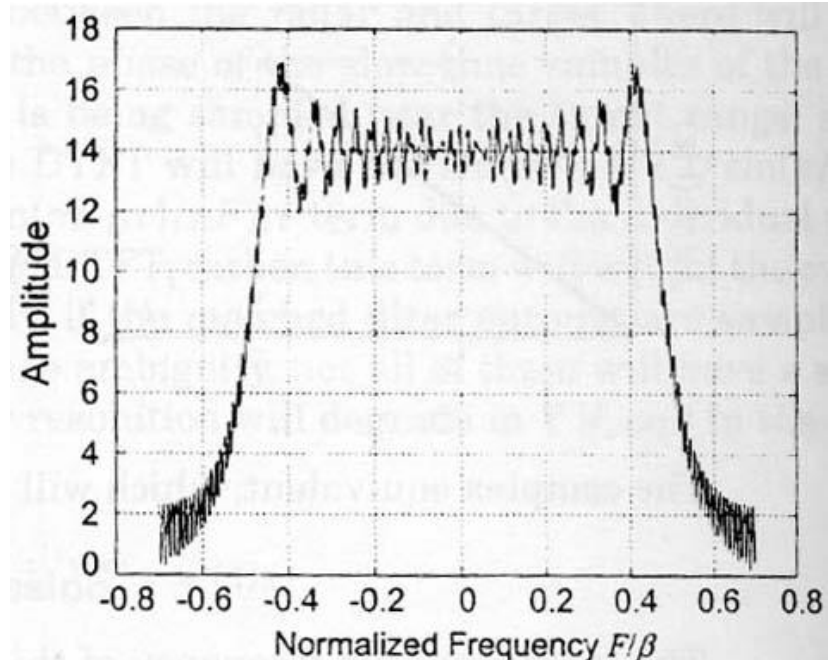
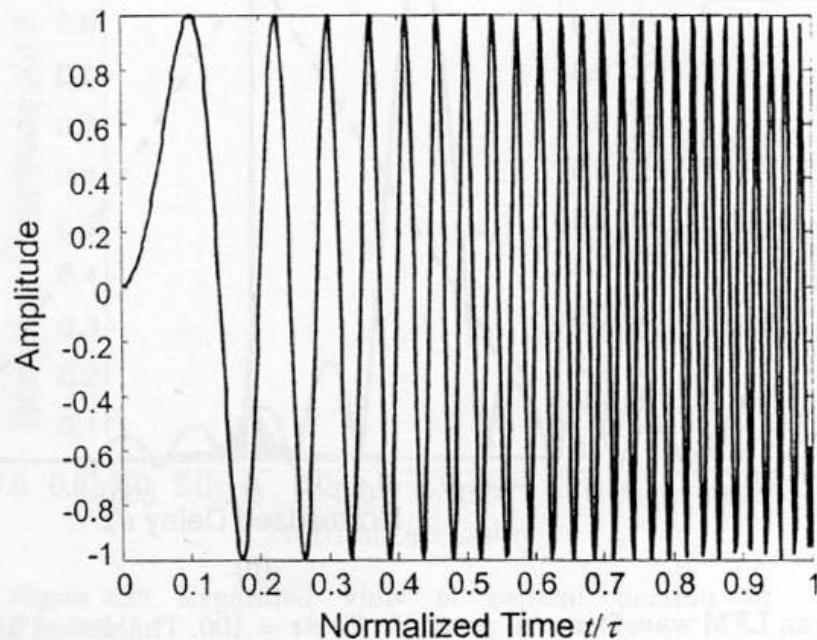
$$x(t) = A(t)e^{j\alpha t^2} \quad \alpha = \pi \frac{\beta}{\tau}$$

$$A(t) = \begin{cases} 1 & -\tau/2 \leq t \leq \tau/2 \\ 0 & \text{others} \end{cases}$$

此图例中

$$\beta\tau = 100$$

实部图形和幅度谱





2 有限持续波形的等效时宽和等效带宽

单位能量信号 $g(t)$

时间和频率中心分别为

$$\mu_t = \int t |g(t)|^2 dt$$

$$\mu_\omega = \int \omega |\hat{g}(\omega)|^2 d\omega$$

注解：对于非单位能量信号，
均除以能量值

$$E = \int |g(t)|^2 dt$$



时间和频率域等效宽度平方分别为

$$\Delta_t^2 = \int_{-\infty}^{+\infty} (t - \mu_t)^2 |g(t)|^2 dt$$

$$\Delta_\omega^2 = \frac{1}{2\pi} \int_{-\infty}^{+\infty} (\omega - \mu_\omega)^2 |\hat{g}(\omega)|^2 d\omega$$

等效时宽 Δ_t

等效频宽 Δ_ω



不确定性原理（测不准原理）

对于任意函数 $g(t)$ 满足 $\lim_{|t| \rightarrow \infty} \sqrt{t} g(t) = 0$

等效时宽—带宽积满足 $\Delta_t \cdot \Delta_\omega \geq \frac{1}{2}$

等号只针对高斯类函数成立，即 $g(t) = A \left(\frac{\alpha}{\pi} \right)^{1/4} e^{-\alpha t^2 / 2}$



等效时宽、带宽例

$$g(t) = \left(\frac{\alpha}{\pi} \right)^{1/4} e^{-\alpha t^2 / 2}$$

$$\mu_t = 0, \quad \Delta_t^2 = \frac{1}{2\alpha}$$

$$\mu_\omega = 0, \quad \Delta_\omega^2 = \frac{\alpha}{2}$$

$$\Delta_t \Delta_\omega = \frac{1}{2}$$

3 框架的概念

一个函数系 $\{\varphi_j(t)\}$ ，定义线性变换 $[Tx]_j = \langle x(t), \varphi_j(t) \rangle$ ，它满足：

(1)：唯一性：如果 $x_1 = x_2$ ，则 $Tx_1 = Tx_2$ ；

(2)：正变换连续性，如果 x_1 与 x_2 很接近，则 Tx_1 与 Tx_2 也很接近，

这要求：
$$\sum_j |\langle x, \varphi_j \rangle|^2 \leq B \|x\|^2 \quad 0 < B < \infty$$

(3)：反变换连续性：

当 $[Tx_1]_j = \langle x_1, \varphi_j \rangle$ 和 $[Tx_2]_j = \langle x_2, \varphi_j \rangle$ ， $j \in \mathbb{Z}$ 充分接近时，

要求： x_1 与 x_2 充分接近，这要求：

$$\sum_j |\langle x, \varphi_j \rangle|^2 \geq A \|x\|^2 \quad 0 < A < \infty$$

概括起来，
$$A \|x\|^2 \leq \sum_j |\langle x, \varphi_j \rangle|^2 \leq B \|x\|^2$$

满足这个条件的函数系 $\{\varphi_j(x), j \in \mathbb{Z}\}$ 称为一个框架。



特例：✧

当 $A = B$ 时，✧

$$\sum_j \left| \langle x, \varphi_j \rangle \right|^2 = A \|x\|^2$$

称为紧框架✧

当 $A=B=1$ 时，
$$\sum_j \left| \langle x, \varphi_j \rangle \right|^2 = \|x\|^2$$

此时满足： $\langle \varphi_i, \varphi_j \rangle = \delta(j-i)$ ， $\{\varphi_j\}$ 构成一个正交基。

通过框架对原函数 x 的重建:

定义一个算子 F , 设 $Fx = \sum_{j \in Z} \langle x, \varphi_j \rangle \varphi_j(t)$ ↵

则
$$x = F^{-1} \left[\sum_{j \in Z} \langle x, \varphi_j \rangle \varphi_j(t) \right] = \sum_{j \in Z} \langle x, \varphi_j \rangle F^{-1} \varphi_j(t)$$

令 $\tilde{\varphi}_j \stackrel{\Delta}{=} F^{-1} \varphi_j(t)$ 则 ↵

$$x = \sum_{j \in Z} \langle x, \varphi_j \rangle \tilde{\varphi}_j$$
 ↵

称 $\{\tilde{\varphi}_j\}$ 为 $\{\varphi_j\}$ 的对偶, 如果 $\{\varphi_j\}$ 是一框架, 在一定条件下

$\{\tilde{\varphi}_j\}$ 是一个对偶框架, 由对偶框架重构信号 x . ↵



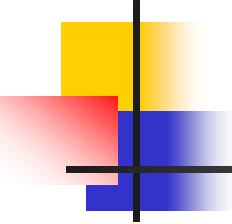
框架和对偶框架的可交换性

$$x = \sum_{j \in \mathbb{Z}} \langle x, \varphi_j \rangle \cdot \tilde{\varphi}_j$$

$$x = \sum_{j \in \mathbb{Z}} \langle x, \tilde{\varphi}_j \rangle \cdot \varphi_j$$

框架理论也可
推广到多重序号

对于所有


$$\{x(n) | 0 \leq n < N-1\}$$

构成的N维信号空间，有

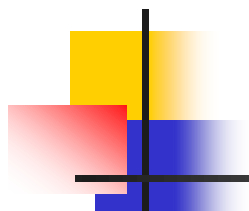
$$e_{\hat{k}}(n) = \frac{1}{\sqrt{N}} e^{j\frac{2\pi}{N}\hat{k}n} \quad n = 0, \dots, N-1$$

$$\hat{k} = 0, \frac{1}{2}, 1, 1\frac{1}{2}, \dots, N-1, N-\frac{1}{2}$$

容易证明：

$$\sum_{\hat{k}} |\langle x, e_{\hat{k}} \rangle|^2 = 2\|x\|^2$$

$$e_{\hat{k}}(n) \quad \hat{k} = 0, \frac{1}{2}, 1, 1\frac{1}{2}, \dots, N-1, N-\frac{1}{2} \quad \text{构成紧框架}$$



Reisz 基:

设 $\{\varphi_j, j \in Z\}$ 满足下述要求:

i):
$$A \sum_{j \in Z} c_j^2 \leq \left\| \sum_{j \in Z} c_j \varphi_j \right\|^2 \leq B \sum_{j \in Z} c_j^2 \quad 0 < A < B < \infty$$

ii): $\sum_{j \in Z} c_j \varphi_j = 0$ 意味着 $c_j = 0 \quad j \in Z$ 即 $\{\varphi_j, j \in Z\}$ 是不相关的

则称 $\{\varphi_j, j \in Z\}$ 为一组 Reisz 基。

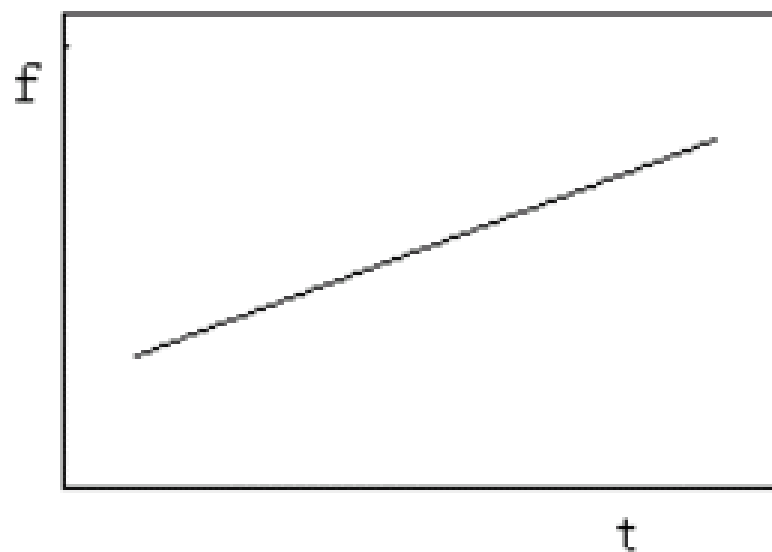


4

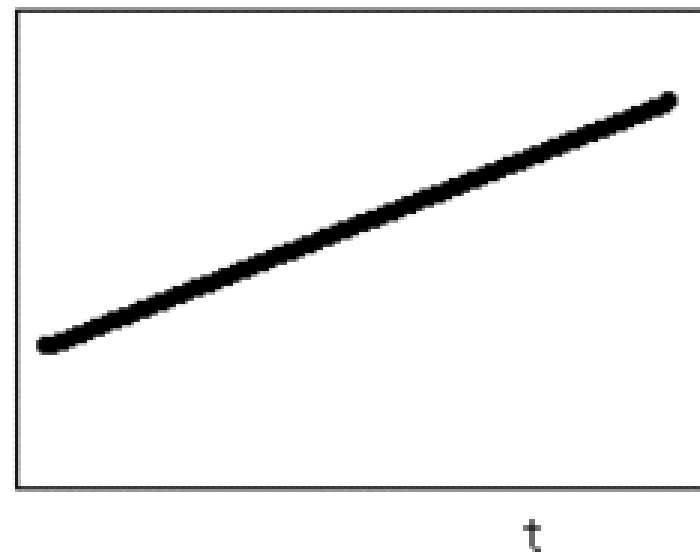
信号的一种时—频变换:

时—频变换反映“信号随时间变化的频谱（或功率谱、或能量谱）”，
一个信号的时—频变换可以用符号 $TF_x(t, \omega)$ 表示，称时—频变换的
图形表示为时—频谱图，时—频谱图可以是三维立体图形，也可以是
平面图。对于平面图，在时—频平面，我们用黑白强度表示 $|TF_x(t, \omega)|$
的取值，越黑的点 $|TF_x(t, \omega)|$ 取值越大，白色点对应于 $|TF_x(t, \omega)|$ 取零。

线性调制信号 $x(t) = ae^{j(\Omega^2 t + \omega_0 t + \varphi)}$,



(a)理想情况,



(b)实际谱图

时-频变换谱图



9.2 线性时频变换

$$\begin{aligned} TF_x(t, \omega) &= \langle x(\tau), g(\tau, t, \omega) \rangle = \int x(\tau) g(\tau, t, \omega) d\tau \\ &= \frac{1}{2\pi} \langle \hat{x}(\lambda), \hat{g}(\lambda, t, \omega) \rangle = \frac{1}{2\pi} \int \hat{x}(\lambda) \hat{g}(\lambda, t, \omega) d\lambda \end{aligned}$$

考虑一个由母函数 $g_0(\tau)$ 构成的函数集 $g(\tau, t, \omega)$,

t, ω 是可变化的参数, 例如 $g(\tau, t, \omega) = g_0(\tau - t)e^{j\omega\tau}$.

就是由母函数 $g_0(\tau)$ 生成的函数集, 是由 $g_0(\tau)$ 在

时间轴上移位 t 后再被角频率为 ω 的载波调制得到的。



(1) 信号的时域表示

取

$$g(\tau, t, \omega) = \delta(\tau - t),$$

则有

$$TF_x(t, \omega) = \langle x(\tau), \delta(\tau - t) \rangle = x(t),$$

这是信号的时域表示，具有最高的时间分辨率，但没有频率分析能力。



(2) 信号的傅立叶变换

取

$$g(\tau, t, \omega) = e^{j\omega\tau}$$

则有

$$TF_x(t, \omega) = \langle x(\tau), e^{j\omega\tau} \rangle = \int x(\tau) e^{-j\omega\tau} d\tau = \hat{x}(\omega)$$

这是信号的傅立叶变换，具有分析信号频率的最高分辨率，但没有时间定位的能力。

为了得到好的时-频局域性分析，取 $g_0(\tau)$ 是一个在时域和频域都具

有良好的能量集中特性的函数，在时域， $g_0(\tau)$ 的能量主要集中在

$-\Delta_t/2 \leq \tau \leq \Delta_t/2$ 范围内，这个范围之外 $g_0(\tau)$ 取值很小；

在频域， $\hat{g}_0(\lambda)$ 的能量主要集中在 $-\Delta_\omega/2 \leq \lambda \leq \Delta_\omega/2$ 范围内。

改变参数 t, ω 的取值，使得在时域 $g(\tau, t, \omega)$ 的主要能量集中在

$t - \Delta_t/2 \leq \tau \leq t + \Delta_t/2$ ，在频域 $\hat{g}(\lambda, t, \omega)$ 的主要能量集中在

$\omega - \Delta_\omega/2 \leq \lambda \leq \omega + \Delta_\omega/2$ 范围内，因此，时频变换 $TF_x(t, \omega)$ 实际上是提取

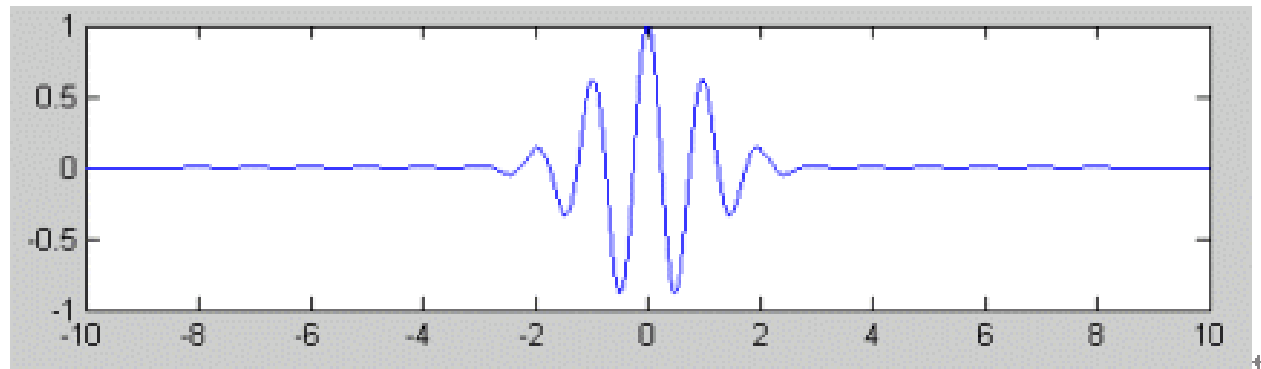
了信号在 t, ω 附近，主要影响区间为

$$\left[t - \Delta_t/2, t + \Delta_t/2 \right] \times \left[\omega - \Delta_\omega/2, \omega + \Delta_\omega/2 \right]$$

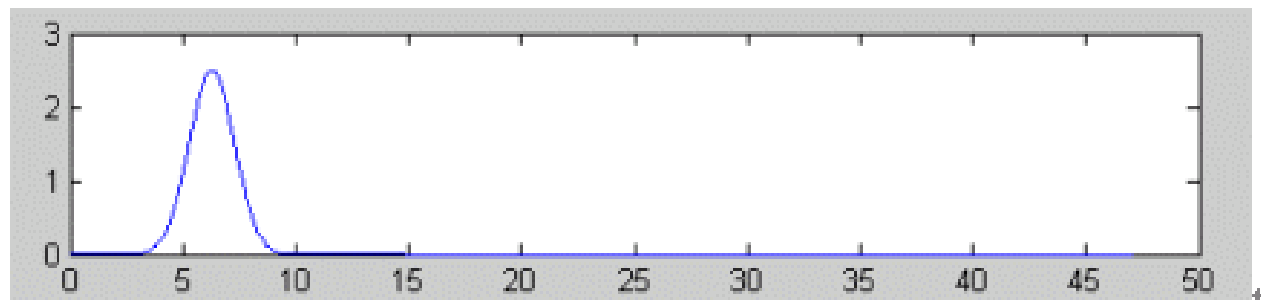
内信号的能量，区间的面积为 $\Delta_t \Delta_\omega$ 。

例子， 设 $g_0(\tau) = \left(\frac{\alpha}{\pi}\right)^{1/4} e^{-\alpha\tau^2}$ 为高斯函数， 取 $g(\tau, t, \omega) = g_0(\tau - t)e^{j\omega\tau}$ ，

$g(\tau, t, \omega)$ 是高斯调制函数集， $g(\tau, t=0, \omega)$ 实部的图形， $|\hat{g}(\lambda, t, \omega)|$ 如图。



(a) 高斯调制函数时域信号



(b) 高斯调制函数的频谱图



9.3 短时傅立叶变换 (STFT)

取一个窗函数 $g(\tau)$ ，它在时域是一个（近似）有限持续时间函数，

即它的能量主要集中在 $-\Delta_t/2 \leq \tau \leq \Delta_t/2$ 范围内， $x(\tau)g(\tau-t)$

反映了信号在以参考时间 t 为中心，在区间 $[t - \Delta_t/2, t + \Delta_t/2]$ 范围的变化。

短时傅立叶变换的定义为

$$\begin{aligned} STFT(t, \omega) &= \int_{-\infty}^{+\infty} x(\tau) g^*(\tau - t) e^{-j\omega\tau} d\tau = \int_{-\infty}^{+\infty} x(\tau) g_{t,\omega}^*(\tau) d\tau \\ &= \langle x(\tau), g_{t,\omega}(\tau) \rangle \end{aligned}$$

$$g_{t,\omega}(\tau) = g(\tau - t) e^{j\omega\tau}$$



STFT例子

信号 $x(t) = \left(\frac{\alpha}{\pi}\right)^{1/4} e^{-\alpha t^2/2 + j(\beta t^2/2 + \omega_0 t)}$ 母函数 $g(t) = \left(\frac{b}{\pi}\right)^{1/4} e^{-bt^2/2}$

$$|STFT(t, \omega)|^2 = \frac{P(t)}{\sqrt{2\pi\sigma_\omega^2}} \exp\left(-\frac{(\omega - \mu_\omega)^2}{2\sigma_\omega^2}\right)$$

$$P(t) = \sqrt{\frac{\alpha b}{\pi(\alpha + b)}} \exp\left(-\frac{\alpha b}{\alpha + b} t^2\right)$$

$$\sigma_\omega^2 = \frac{1}{2}(\alpha + b) + \frac{\beta^2}{2(\alpha + \beta)} \quad \mu_\omega = \frac{b}{\alpha + b} \beta t + \omega_0$$



例、信号由两个线性调制信号（Chirp）构成，即

$$f(t) = a_1 e^{j(bt^2 + ct)} + a_2 e^{j(bt^2)}$$

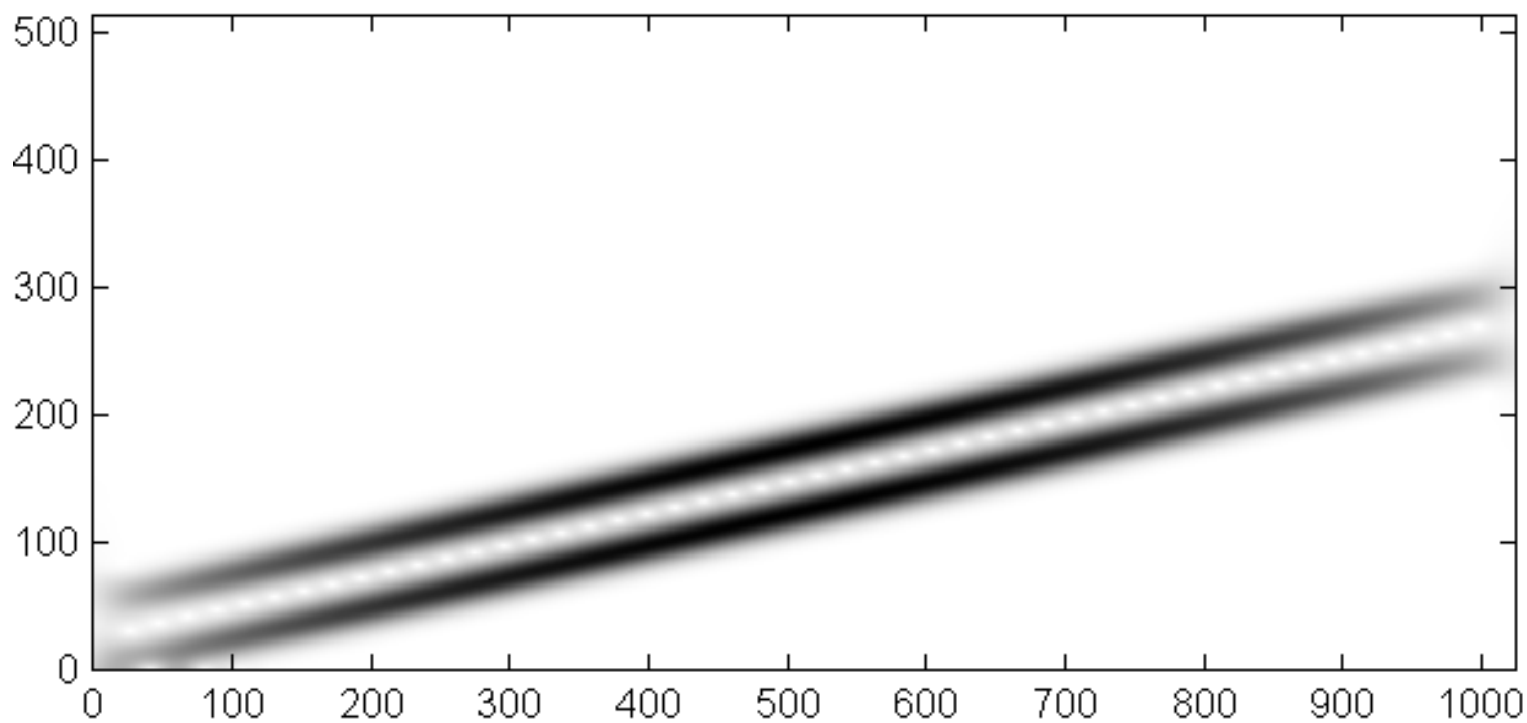
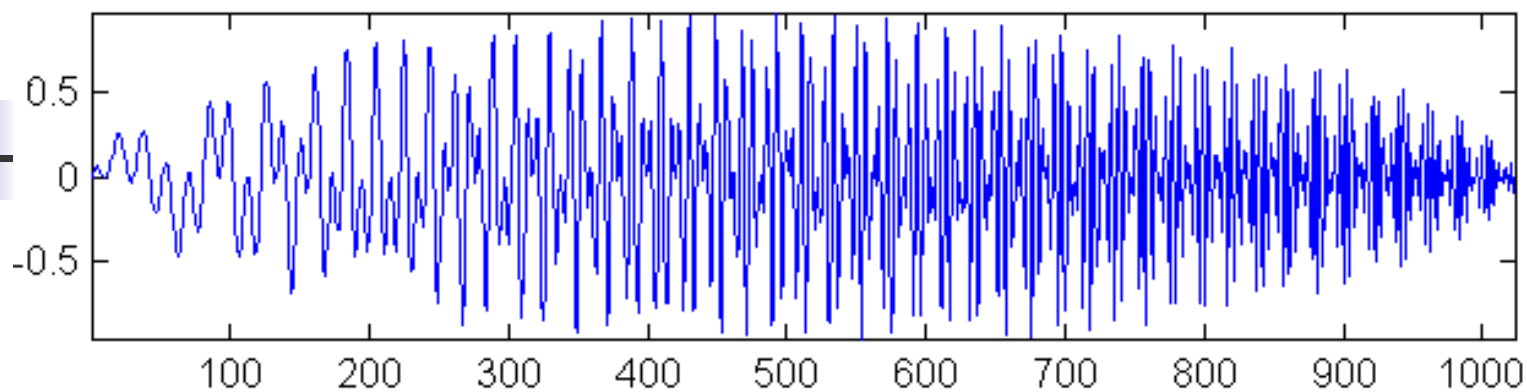
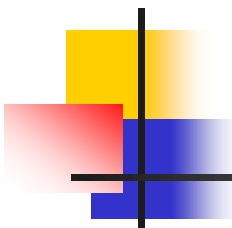
相当于两个信号的瞬时频率分别是： $\omega_1(t) = 2bt + c$ ， $\omega_2(t) = 2bt$ ，

其频率差为常数，为进行短时傅立叶变换，选择一个窗函数，取高斯

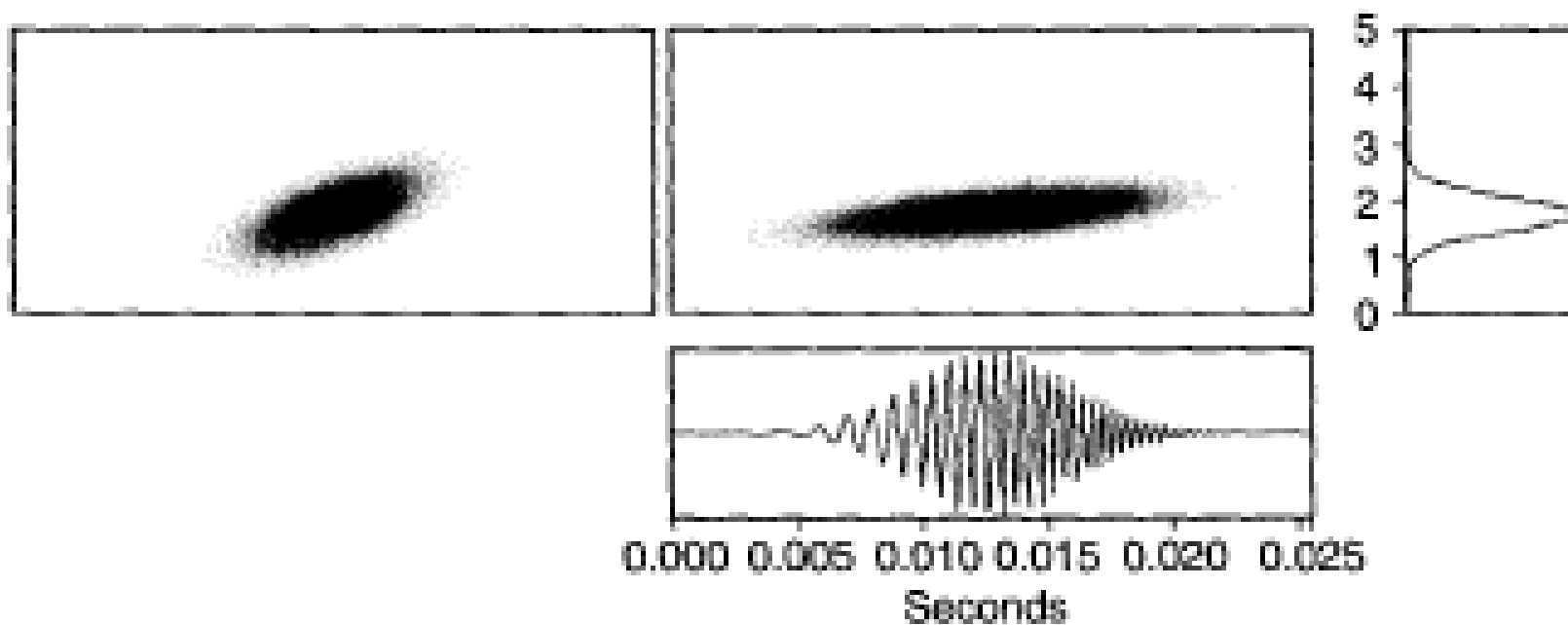
窗 $\sigma = 0.05$ ；窗函数为

$$g(t) = \frac{1}{(\sigma^2 \pi)^{1/4}} \exp\left(\frac{-t^2}{2\sigma^2}\right)$$

信号波形(实部)和它的短时傅立叶变换的幅度图 $|STFT(t, \omega)|^2$ 。



例. 线性Chirp信号的例子，对STFT和功率谱进行比较





STFT 的频域等价形式*

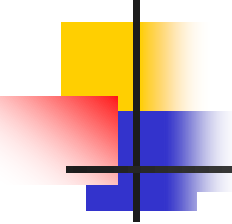
$$\begin{aligned} STFT(t, \omega) &= \int_{-\infty}^{+\infty} x(\tau) g^*(\tau - t) e^{-j\omega\tau} d\tau = \hat{x}(\omega) * (\hat{g}^*(\omega) e^{-j\omega t}) \\ &= \frac{1}{2\pi} \int_{-\infty}^{+\infty} \hat{x}(\lambda) \hat{g}^*(\omega - \lambda) e^{-j(\omega - \lambda)t} d\lambda = e^{-j\omega t} \langle \hat{x}(\lambda), \hat{g}_{\omega, t}(\lambda) \rangle \end{aligned}$$

$$\hat{g}_{\omega, t}(\lambda) = \hat{g}(\omega - \lambda) e^{-j\lambda t}$$

$STFT(t, \omega)$ 反映了信号在时-频联合区域*

$[t - \Delta_t / 2, t + \Delta_t / 2] \times [\omega - \Delta_\omega / 2, \omega + \Delta_\omega / 2]$ 的性质。

$$\Delta_t \Delta_\omega \geq 1/2$$



对于能量归一化的窗函数 g , $\|g\|^2 = \int_{-\infty}^{+\infty} |g(\tau)|^2 d\tau = 1$, STFT 满足

$$\int_{-\infty}^{+\infty} |x(\tau)|^2 d\tau = \frac{1}{2\pi} \iint |STFT(t, \omega)|^2 dt d\omega$$

说明, $|STFT(t, \omega)|^2$ 反映了信号的时-频联合能量谱。

STFT 的反变换

$$x(\tau) = \frac{1}{2\pi\|g\|^2} \iint DTFT(t, \omega) g_{t,\omega}(\tau) dt d\omega$$

核函数方程和冗余性

STFT 满足如下的核函数方程，

$$STFT(t, \omega) = \frac{1}{2\pi} \iint STFT(t', \omega') K(t, \omega; t' \omega') dt' d\omega'$$

核函数为

$$K(t, \omega; t' \omega') = \langle g_{t, \omega}(\tau), g_{t', \omega'}(\tau) \rangle$$

STFT 的离散化

仅计算在 (t, ω) 离散采样点 $(t = nT, \omega = m\Omega)$ 的值 $STFT(nT, m\Omega)$,

这里 T, Ω 分别是时间和频率的采样间隔。

离散化的一个重要问题是：如何选取采样间隔 T, Ω ,

才能由 $\{STFT(nT, m\Omega), n \in \mathbb{Z}, m \in \mathbb{Z}\}$ 重构信号，如何重构？

Gabor 展开



从时频谱图的角度， 快速计算参数离散STFT

设 $\tilde{x}(m) = x(mT_s),$

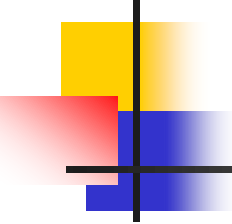
$$\tilde{g}(m) = 0 \quad m < 0, m > L-1$$

$$N \geq L$$

定义：

$$X_D(n, k) = \sum_{m=0}^{N-1} \tilde{x}(m + n\Delta M) \tilde{g}^*(m) e^{-j\frac{2\pi}{N}km}$$

一个数据滑动的FFT结构，也可以用多FFT机并行实现



$$SFTF\left(nT, k \frac{1}{N} \omega_s\right) = T_s e^{-\frac{2\pi}{N} kn \Delta M} X_D(n, k)$$

忽略幅度因子，时频谱图为

$$\left|SFTF(nT, k\Omega)\right|^2 = \left|X_D(n, k)\right|^2$$

$$\Omega = \frac{1}{N} \omega_s, \quad \Delta M = \frac{T}{T_s}$$

$$N \geq L \geq \Delta M$$



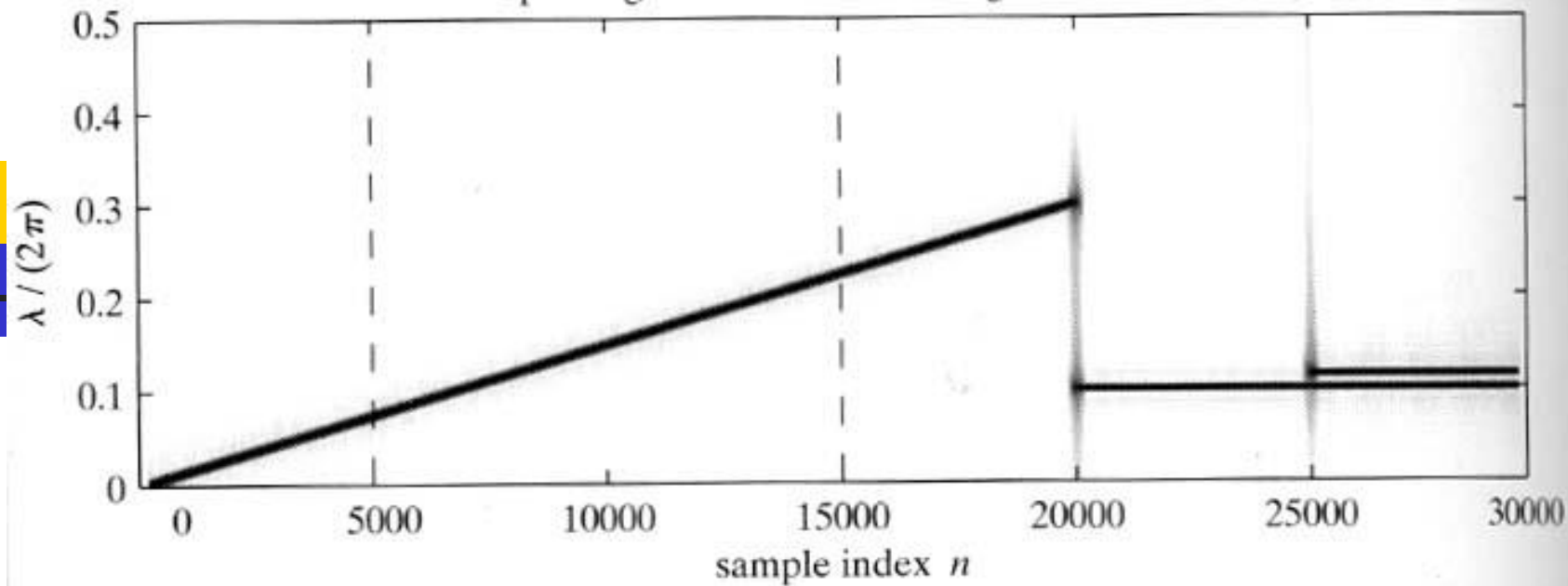
一个实例研究

$$x(n) = \begin{cases} 0 & n < 0 \\ \cos(\alpha_0 n^2) & 0 \leq n \leq 20000 \\ \cos(0.2\pi n) & 20000 < n \leq 25000 \\ \cos(0.2\pi n) + \cos(0.23\pi n) & 25000 < n \end{cases}$$

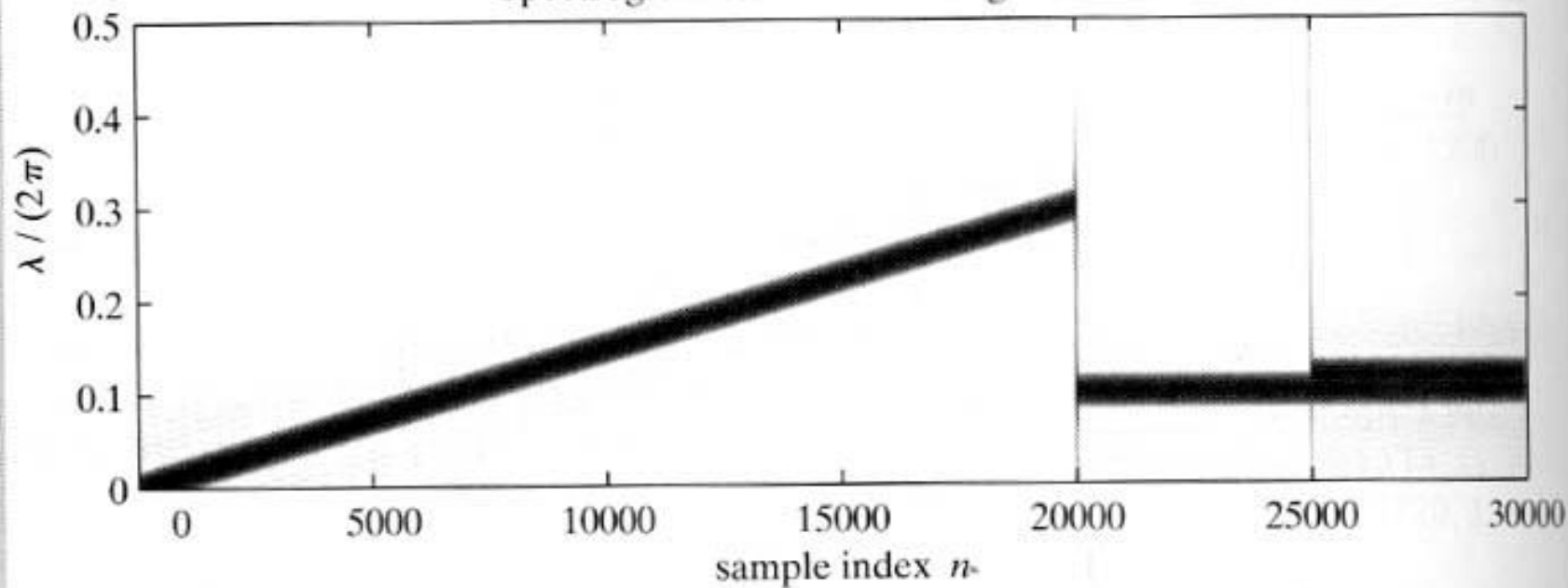
采用Hamming窗作为分析窗进行STFT

$$g(m) = \begin{cases} 0.54 - 0.46 \cos(2\pi m / M), & 0 \leq m \leq M \\ 0, & \text{otherwise} \end{cases} \quad \Delta_{\omega} \approx \frac{8\pi}{M}$$

Spectrogram for Window Length $L = 401$



Spectrogram for Window Length $L = 101$





9.4 Gabor 展开

Gabor 展开是 Gabor 于 1946 年提出的,

1980 年 Bastianns 提出了利用对偶函数计算 Gabor 系数的方法,

1990 年 Wexler 等发表了离散 Gabor 展开的计算问题的论文, *

Gabor 获得 1971 年诺贝尔奖



连续 Gabor 展开

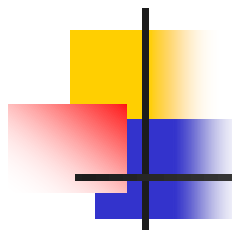
对于信号 $x(t)$ ，Gabor 展开定义为

$$x(t) = \sum_{m=-\infty}^{+\infty} \sum_{n=-\infty}^{+\infty} c_{m,n} h_{m,n}(t) = \sum_{m=-\infty}^{+\infty} \sum_{n=-\infty}^{+\infty} c_{m,n} h(t - mT) e^{jn\Omega t}$$

$h_{m,n}(t) = h(t - mT) e^{jn\Omega t}$ 是 Gabor 展开的基函数集，时频原子

它是由原函数 $h(t)$ 经过平移和调制生成的函数集， $c_{m,n}$ 是 Gabor 展开系数，

T 和 Ω 分别是时间和频率采样间隔。



为使 Gabor 展开成为信号的一种良好的时-频局域性表示，
要求 $h(t)$ 在时域和频域能量都是集中在零附近，

设在时域 $h(t)$ 能量主要集中在 $[-\Delta_t/2, \Delta_t/2]$ ，

而 $h(t)$ 的傅立叶变换 $\hat{h}(\omega)$ 的能量主要集中在 $[-\Delta_\omega/2, \Delta_\omega/2]$

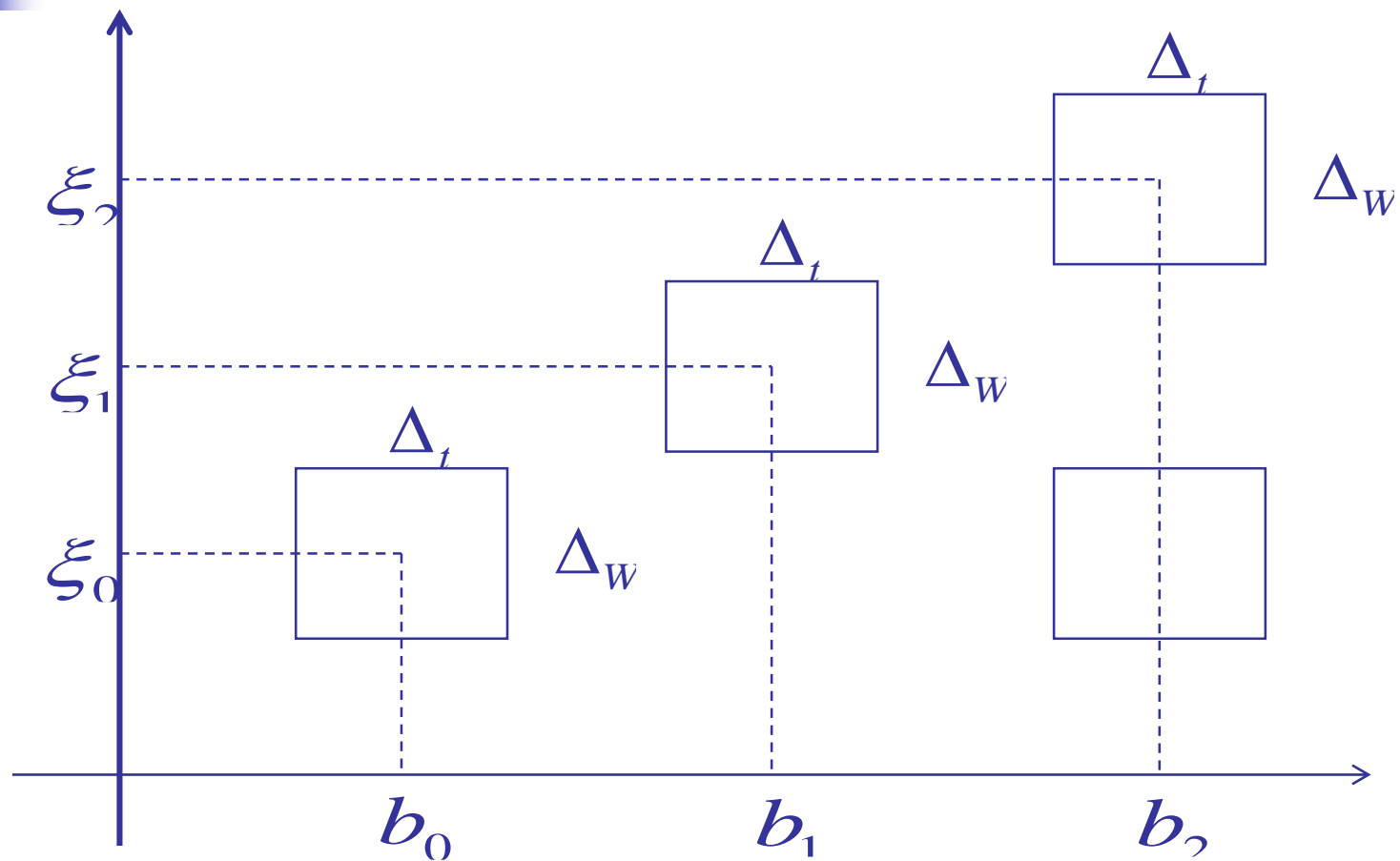
$h_{m,n}(t) = h(t - mT)e^{jn\Omega t}$ 在时域和频域的能量分别集中在

$[mT - \Delta_t/2, mT + \Delta_t/2]$ 和 $[n\Omega - \Delta_\omega/2, n\Omega + \Delta_\omega/2]$ ，

每个系数 $c_{m,n}$ 近似表达了信号在时-频区间

$[mT - \Delta_t/2, mT + \Delta_t/2] \times [n\Omega - \Delta_\omega/2, n\Omega + \Delta_\omega/2]$ 的性质。

系数 $c_{m,n}$ 所代表的时-频格子的示意图如图





在 Gabor 的原始论文中，采用的原函数 $h(t)$ 是高斯函数，即

$$h(t) = \left(\frac{\alpha}{\pi}\right)^{1/4} e^{-\alpha^2/2}, \quad \hat{h}(\omega) = \frac{1}{\sqrt{2}} \left(\frac{\pi}{\alpha}\right)^{1/4} e^{-\omega^2/2\alpha}$$

时-频格子的大小可以达到测不准原理的下界，

$$\Delta_t \Delta_\omega = \frac{1}{\sqrt{2\alpha}} \sqrt{\frac{\alpha}{2}} = \frac{1}{2}$$



要使 Gabor 展开存在, T 和 Ω 满足的约束条件为[Wexler, 1990]

$$T\Omega \leq 2\pi$$

当 $T\Omega = 2\pi$ 时称为临界采样,  对应着使 Gabor 展开成立的最稀疏的时-频采样

$T\Omega < 2\pi$ 时称为过采样, 过采样情况下, Gabor 展开系数 $c_{m,n}$ 中存在冗余

但这种冗余, 在信号处理中可用于噪声消除或更有效地检测信号。✧



Gabor 展开的完整性

当基函数集 $\{h_{m,n}(t) = h(t - mT)e^{jn\Omega t}, m \in Z, n \in Z\}$ 构成一个框架时, \leftarrow

存在一个对偶原函数 $\gamma(t)$, $\{\gamma_{m,n}(t) = \gamma(t - mT)e^{jn\Omega t}, m \in Z, n \in Z\}$ \leftarrow

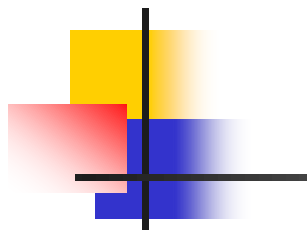
构成对偶框架[Daubechies, 1992], 利用对偶框架计算 Gabor 展开系数 $c_{m,n}$,

$$\begin{aligned} c_{m,n} &= \int_{-\infty}^{+\infty} x(t) \gamma_{m,n}^*(t) dt = \int_{-\infty}^{+\infty} x(t) \gamma_{m,n}^*(t - mT) e^{-jn\Omega t} dt \\ &= \langle x(t), \gamma_{m,n}(t) \rangle = STFT(mT, n\Omega) \end{aligned}$$

Gabor 展开系数 $c_{m,n}$ 实际是以 $\gamma(t)$ 做窗函数的 STFT 在时-频离散

采样位置 $(mT, n\Omega)$ 的取值 \leftarrow

信号理想重构


$$x(t) = \int_{-\infty}^{+\infty} x(t') \sum_{m=-\infty}^{+\infty} \sum_{n=-\infty}^{+\infty} \gamma_{m,n}^*(t') h_{m,n}(t) dt'$$

要求,

$$\sum_{m=-\infty}^{+\infty} \sum_{n=-\infty}^{+\infty} \gamma_{m,n}^*(t') h_{m,n}(t) = \delta(t - t')$$

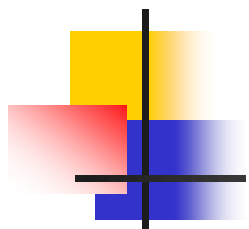
利用 Poisson 求和公式, 可以转化为如下的积分方程,

$$\frac{T_0 \Omega_0}{2\pi} \int_{-\infty}^{+\infty} h(t) \gamma_{m,n}^{0*}(t) dt = \delta(m) \delta(n)$$

$$\gamma_{m,n}^{0*}(t) = \gamma(t - mT_0) e^{jn\Omega_0} \quad T_0 = 2\pi / \Omega, \Omega_0 = 2\pi / T$$

周期离散Gabor展开

周期离散 Gabor 展开为+



$$\tilde{x}(k) = \sum_{m=0}^{M-1} \sum_{n=0}^{N-1} \tilde{c}_{m,n} \tilde{h}(k - m\Delta M) W_L^{nk\Delta N}$$

Gabor 展开系数利用如下求和式获得+

$$\tilde{c}_{m,n} = \sum_{k=0}^L \tilde{x}(k) \tilde{y}^*(k - m\Delta M) W_L^{-nk\Delta N}$$

离散信号的周期是 L (对有限长信号, 将信号作为周期序列的一个周期),

Gabor 系数 $c_{m,n}$ 在时-频方向的周期分别是 M, N , 考虑到周期性, 令+

$$\tilde{x}(k) = x(kT_s), \quad \tilde{h}(k) = h(T_s k)$$

$$\Delta M = \frac{T}{T_s}, \quad \Delta N = \frac{\Omega T_s L}{2\pi}, \quad W_L = e^{j\frac{2\pi}{L}}$$



假设 $L = \Delta M M = \Delta N N$ ，Gabor 展开公式简化成如下形式，

$$\tilde{x}(k) = \sum_{m=0}^{M-1} \sum_{n=0}^{N-1} \tilde{c}_{m,n} \tilde{h}(k - m\Delta M) W_N^{nk}$$

$$\tilde{c}_{m,n} = \sum_{k=0}^{L-1} \tilde{x}(k) \tilde{y}^*(k - m\Delta M) W_N^{-nk}$$

可以利用 FFT 进行计算。

过采样率 $\alpha = \frac{2\pi}{T\Omega} = \frac{L}{\Delta M \Delta N} = \frac{MN}{L} = \frac{N}{\Delta M}$



由 $\tilde{h}(k)$ 求 $\tilde{\gamma}(k)$ 的方程

求解方程[Wexler,1990]:

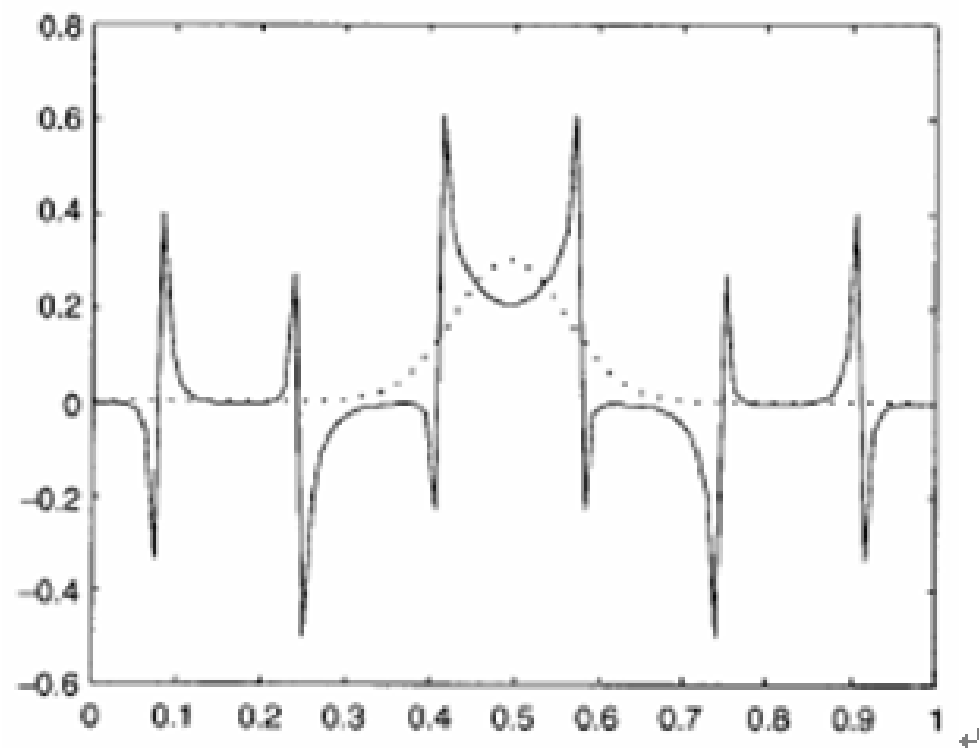
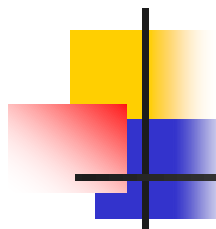
$$\sum_{k=0}^{L-1} \tilde{h}(k+qN) W_{\Delta M}^{-pk} \tilde{\gamma}^*(k) = \frac{\Delta M}{N} \delta(p) \delta(q) \quad 0 \leq p < \Delta M, 0 \leq q < \Delta N$$

矩阵形式为

$$H\boldsymbol{\gamma} = \boldsymbol{u} \quad H = [h_{i,j}]_{\Delta M \Delta N \times L}$$

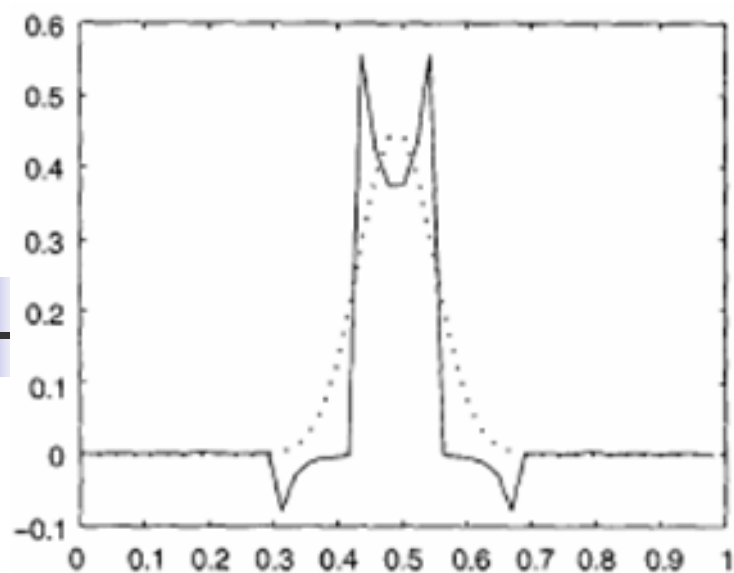
$$h_{p\Delta M+q,k} = \tilde{h}(k+qN) W_{\Delta M}^{-pk} \quad \boldsymbol{u} = \left[\frac{\Delta M}{N}, 0, \dots, 0 \right]^T$$

$$\boldsymbol{\gamma} = [\tilde{\gamma}^*(0), \tilde{\gamma}^*(1), \dots, \tilde{\gamma}^*(L-1)]^T$$

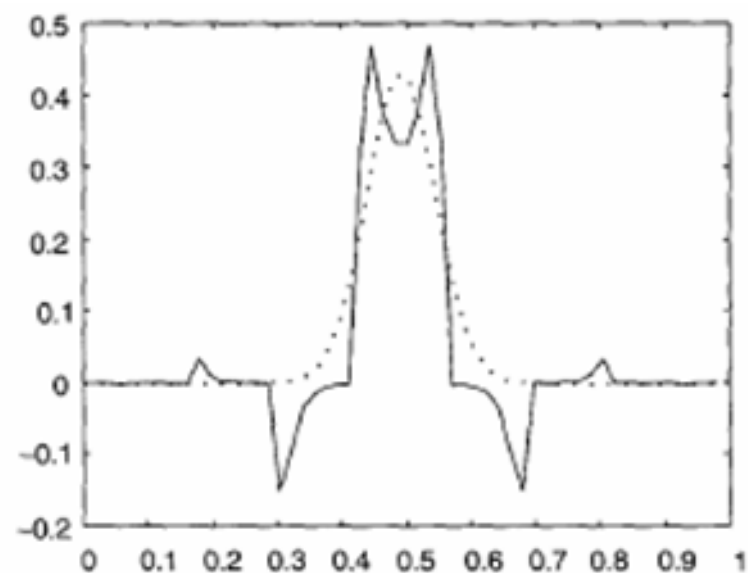


$\tilde{h}(k)$ 和 $\tilde{\gamma}(k)$ 的包络图，虚线表示 $\tilde{h}(k)$ ，实线表示 $\tilde{\gamma}(k)$ 。

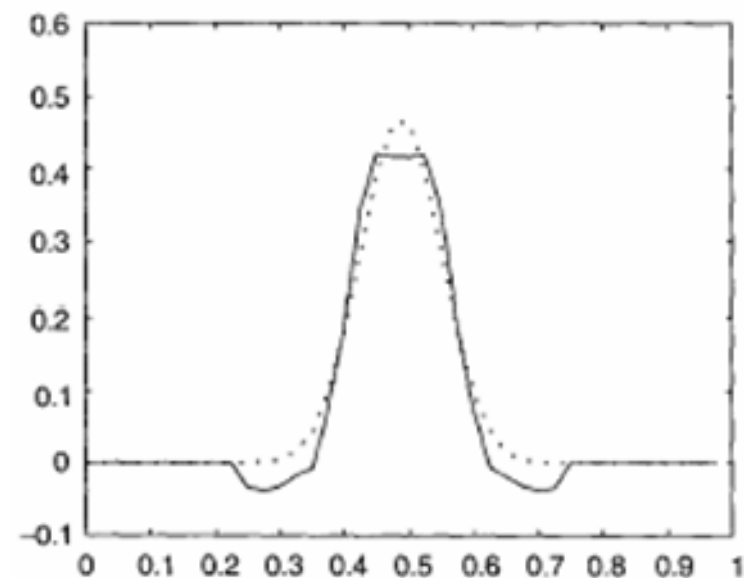
这是临界采样的情况， $L = 128, \Delta M = N = 16$ ，横坐标归一化。



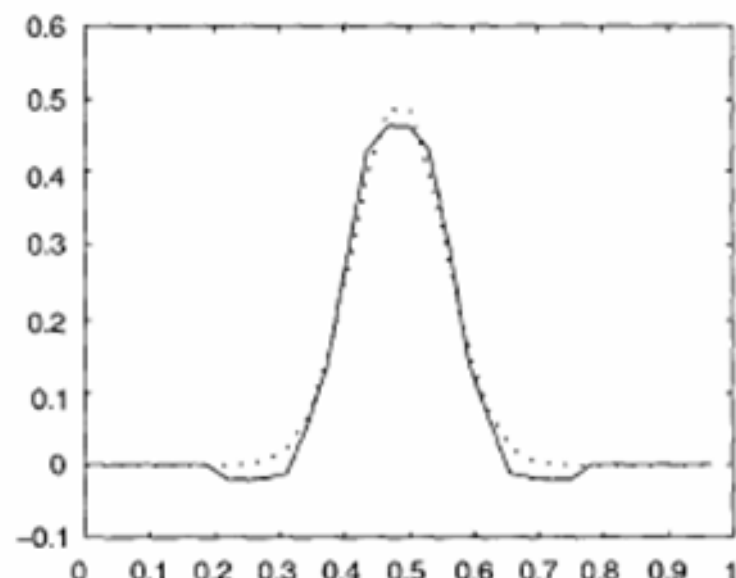
(a) $L = 56, N = 8, \Delta M = 7$,
Oversampling = $8/7$, err = 0.4018



(b) $L = 48, N = 8, \Delta M = 6$,
Oversampling = $4/3$, err = 0.2598



(c) $L = 40, N = 8, \Delta M = 5$,
Oversampling = $8/5$, err = 0.1628



(d) $L = 32, N = 8, \Delta M = 4$,
Oversampling = 2, err = 0.0865

过采样率